

потока и давления;  $K_w$  связана с  $s$  как  $K_w = (3/2)^{2/3}(\gamma + 1)^{2/3}(s^{3/2} - 1)^{-1}$ . Эта зависимость показана на рис. 3.

3. Такая многозначность полученных зависимостей в трансзвуковом диапазоне скоростей принципиально отличается от хорошо известных вполне однозначных соотношений для сверхзвукового режима течения, когда возмущения малы по сравнению с величиной  $M_1^2 - 1$ , т. е.  $|M_2 - M_1| \ll M_1 - 1$ .

Для слабых скачков уплотнения это условие равносильно предположению, что разница между углом наклона скачка и характеристики много меньше, чем угол отклонения скачка уплотнения от вертикали  $\beta_1$  (см. рис. 1, а). Это условие дает дополнительную связь между двумя параметрами ( $M_1$  и  $M_2$ ), приводит к замыканию системы (1.1)–(1.3) и обеспечивает однозначную зависимость коэффициентов от  $M_1$  для всех углов отклонения потока, если они невелики. Поэтому зависимость оптимального коэффициента проницаемости стенки от  $M$  в сверхзвуковом потоке получается универсальной [1].

Для сверхзвукового течения, но в трансзвуковом режиме уже нет единой зависимости для оптимального коэффициента проницаемости, он в каждом случае течения есть переменная по длине стенки трубы величина и различная для каждого эксперимента. Для иллюстрации этого приведем пример расчета обтекания тонкого клина под нулевым углом атаки потоком газа, скорость которого немного больше, чем скорость звука. Угол полураствора клина  $\theta = 1^\circ 22'$ .

На рис. 4 показано, как меняется величина  $R_{opt}$ , отнесенная к  $\sqrt{M_1^2 - 1}$ , с изменением  $M_1$  в области над клином за скачком уплотнения. Расчеты выполнены по точным газодинамическим соотношениям и таблицам [4].

#### ЛИТЕРАТУРА

1. Гродзовский Г. Л., Никольский А. А., Свищев Г. П., Таганов Г. И. Сверхзвуковые течения газа в перфорированных границах.— М.: Машиностроение, 1967.
2. Овсянников Л. В. Лекции по газовой динамике.— М.: Наука, 1981.
3. Лойцянский Л. Г. Механика жидкости и газа.— М.: Наука, 1973.
4. Ферри А. Аэродинамика сверхзвуковых течений.— М.: ГИТТЛ, 1953.

г. Жуковский

Поступила 12/Х 1989 г.,  
в окончательном варианте — 27/ІХ 1990 г.

УДК 533.69

Н. Ф. Воробьев

### ОБ ОДНОМ ТОЧНОМ РЕШЕНИИ ЗАДАЧИ О КОНЦЕВОМ ЭФФЕКТЕ КРЫЛА КОНЕЧНОГО РАЗМАХА В СВЕРХЗВУКОВОМ ПОТОКЕ

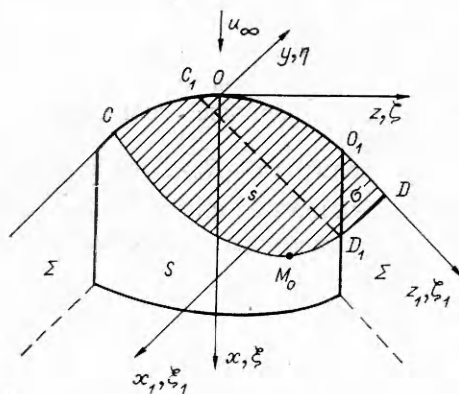
Задача обтекания сверхзвуковым потоком тонкого крыла конечного размаха, рассматриваемая в линейной постановке, сводится к решению волнового уравнения для потенциала скорости. Условия непротекания с поверхности крыла при этом сносятся на базовую плоскость, а в остальной части этой плоскости (вне проекции крыла) на газодинамические параметры потока накладываются некоторые условия. Решение задачи, когда потенциал скорости определяется через нормальную произвольную в базовой плоскости  $\Phi'_\eta$ , а вне проекции крыла ставится условие обращения потенциала в нуль, дано в [1]. Газодинамические параметры потока (давление, скос потока вне крыла), получаемые из этого решения, в окрестности дозвуковой передней кромки принимают физически не оправданные бесконечные значения. В [2] выражения для потенциала скорости и его производных представлены через первые и вторые производные потенциала на базовой плоскости, что дает возможность ставить дополнительные граничные условия и получать решения задачи обтекания, в которых газодинамические параметры потока находятся в классе ограниченных функций.

В данной работе приводятся формулы для вычисления газодинамических параметров потока в случае, когда потенциал скорости определяется [2] через первую производную  $\Phi'_\eta$  и вторую  $\Phi''_{\eta\xi}$  (кривизну поверхности в направлении скорости набегающего потока) в базовой плоскости, а на части базовой плоскости вне проекции крыла ставится условие непрерывности производной  $\Phi'_\xi$  (давления).

1. Потенциал скорости в точке  $M(x, y, z)$ , лежащей в возмущенной области над крылом, находится через значение нормальной производной  $\Phi'_\eta$  в базовой плоскости  $\eta = 0$  из формулы [1]

$$(1.1) \quad \Phi = -\frac{1}{\pi} \int_{s+\sigma} \int \Phi'_\eta(\xi, \zeta) \varphi d\xi d\zeta,$$

где  $\varphi = r^{-1}$ ;  $r = \sqrt{(x - \xi)^2 - (z - \zeta)^2 - y^2}$ ;  $(s + \sigma)$  — область зависимости точки  $M$  на плоскости  $\eta = 0$  (рис. 1). Часть области зависимости  $s(COO_1D_1M_0C)$  совпадает с проекцией крыла  $S$  на базовую плоскость. Часть  $\sigma(O_1DD_1O_1)$  принадлежит возмущенной области  $\Sigma$  плоскости  $\eta = 0$ , лежащей вне проекции крыла в зоне влияния боковой кромки. В области



Р и с. 1

$(\xi = \rho(\zeta) = x - \sqrt{(z - \zeta)^2 + y^2})$  — линия пересечения характеристического конуса с вершиной в точке  $M$  с плоскостью  $\eta = 0$ ) формулу (1.1) для потенциала можно записать как [2]

$$(1.2) \quad \Phi = \frac{1}{\pi} \int_L \left( \Phi'_\eta \int \varphi d\xi \right)_{\xi=\psi^-(\zeta)} d\zeta + \frac{1}{\pi} \int_{s+\sigma} \int \Phi''_{\eta\xi} \int \varphi d\xi ds$$

$(\xi = \psi^-(\zeta)$  — уравнение границы возмущенной области  $L(COO_1D)$ ). При выводе формулы (1.2) использовалось условие непрерывности производной  $\Phi'_\eta$  на боковой кромке (границе областей  $S$  и  $\Sigma$ ) — условие схода.

Согласно (1.2), с учетом соотношения  $\partial\Phi/\partial x = -\partial\Phi/\partial\xi$  производные потенциала  $\Phi$  представляются в виде

$$(1.3) \quad \Phi'_x = -\frac{1}{\pi} \int_L \left( \Phi'_\eta \varphi \right)_{\xi=\psi^-(\zeta)} d\zeta - \frac{1}{\pi} \int_{s+\sigma} \int \Phi''_{\eta\xi} \varphi ds;$$

$$(1.4) \quad \Phi'_z = \frac{1}{\pi} \int_L \left( \Phi'_\eta \int \frac{\partial\varphi}{\partial z} d\xi \right)_{\xi=\psi^-(\zeta)} d\zeta + \frac{1}{\pi} \int_{s+\sigma} \int \Phi''_{\eta\xi} \int \frac{\partial\varphi}{\partial z} d\xi ds,$$

где  $\int \frac{\partial\varphi}{\partial z} d\xi = \frac{(x - \xi)(z - \zeta)}{r[(z - \zeta)^2 + y^2]}$ . При дифференцировании выражения (1.2) члены от дифференцирования по переменным пределам, зависящим от переменных  $x$  и  $z$ , обращаются в нуль.

Для точек  $M(x, y, z)$  в зоне отсутствия конечного эффекта (область  $\sigma = 0$ ) в (1.3), (1.4) значения  $\Phi'_\eta$  и  $\Phi''_{\eta\xi}$  задаются геометрией крыла и газодинамические параметры потока вычисляются непосредственно по этим формулам.

В случае влияния концов на участке линии  $L$ , совпадающем с проекцией передней кромки крыла  $COO_1$ , производная определена геометрией крыла ( $\Phi'_\eta \sim \alpha [\psi^-(\xi), \zeta]$ ), на участке  $O_1D$  (следе головной характеристической поверхности)  $\Phi'_\eta|_{O_1D} = 0$ , в части области зависимости  $s$  производная  $\Phi''_{\eta\xi}$  определена геометрией крыла, а на  $\sigma$  значение  $\Phi''_{\eta\xi}$  заранее неизвестно и подлежит определению.

В [1] задача обтекания крыла с учетом концевго эффекта (нахождение  $\Phi'_\eta$  в области  $\Sigma$ ) решалась при условии  $\Phi(M \in \Sigma) = 0$  (потенциал  $\Phi$  представлен в форме (1.1)). Решение этого интегрального уравнения в характеристической системе координат  $(x_1, z_1)$  с началом в точке  $O_1$  (см. рис. 1), совпадающей с точкой перехода сверхзвуковой передней кромки в дозвуковую (боковую), записывается в виде

$$(1.5) \quad \Phi'_y(x_1, z_1) = - \frac{1}{\pi \sqrt{z_1 - f(x_1)}} \int_{\psi(x_1)}^{f(x_1)} \alpha(x_1, \zeta_1) \frac{\sqrt{f(x_1) - \zeta_1}}{z_1 - \zeta_1} d\zeta_1$$

( $z_1 = \psi(x_1)$ ,  $z_1 = f(x_1)$  — уравнения передней и боковой кромок,  $\Phi'_\eta(x_1, \zeta_1) = \alpha(x_1, \zeta_1)$  — определенная геометрией крыла функция).

Вторая производная  $\Phi''_{yx}$  ( $M \in \Sigma$ ) на щели получена согласно [2] из решения интегрального уравнения  $\Phi'_x(M \in \Sigma) = 0$  (при записи  $\Phi'_x$  в виде (1.3)), представляющего условие непрерывности давления в области  $\Sigma$ :

$$(1.6) \quad \Phi''_{yx}(x_1, z_1) = - \frac{1}{\pi \sqrt{z_1 - f(x_1)}} \times \\ \times \left\{ \int_{\psi(x_1)}^{f(x_1)} \alpha'_\xi(x_1, \zeta_1) \frac{\sqrt{f(x_1) - \zeta_1}}{z_1 - \zeta_1} d\zeta_1 + \alpha[x_1, \psi(x_1)] \cdot \psi'_{x_1}(x_1) \frac{\sqrt{f(x_1) - \psi(x_1)}}{z_1 - \psi(x_1)} \right\}$$

( $\alpha'_\xi(x_1, \zeta_1) = \Phi''_{\eta\xi}(x_1, \zeta_1)$  — определенная геометрией крыла функция,  $\alpha[x_1, \psi(x_1)] = \Phi'_\eta[x_1, \psi(x_1)]$  — угол атаки на передней кромке крыла).

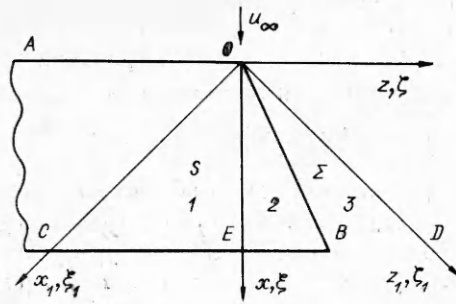
В [1] для потенциала скорости  $\Phi$ , а в [2] для  $\Phi'_x$  с использованием найденных в области  $\Sigma$  значений  $\Phi'_\eta$ ,  $\Phi''_{\eta\xi}$  доказаны теоремы о концевом эффекте, согласно которым потенциал  $\Phi$  и производная  $\Phi'_x$  для точек  $M$ , лежащих над крылом, записываются как

$$\Phi = - \frac{14\pi}{\pi} \iint_{s_1} \Phi'_\eta \varphi ds, \quad \Phi'_x = - \frac{1}{\pi} \int_{L_1} (\bar{\Phi}'_\eta \varphi)_{\xi = \psi^-(\zeta)} d\zeta - \frac{1}{\pi} \iint_{s_1} \Phi''_{\eta\xi} \varphi ds,$$

где  $s_1$  — часть области зависимости  $s$  точки  $M$  на проекции крыла в базовой плоскости, ограниченная линией пересечения характеристического конуса с базовой плоскостью  $CM_0D_1$  ( $D_1$  — точка пересечения этой линии с боковой кромкой), характеристикой  $D_1C_1$  и отрезком передней кромки  $CC_1$  (линия  $L_1$ ). Значения  $\Phi'_\eta$ ,  $\Phi''_{\eta\xi}$  в области  $s_1$  и на  $L_1$  определены геометрией крыла.

2. Как видно из (1.5), при решении задачи обтекания тонкого крыла конечного размаха, согласно [1], производная  $\Phi'_y(M \in \Sigma)$  (скос потока на щели) при приближении точки  $M$  к боковой кромке стремится к бесконечности, как  $r^{-1/2}$  при  $r \rightarrow 0$ . Из решения также вытекает [1], что производная  $\Phi'_x(M \in \Sigma)$  (давление) при приближении точки  $M$  к боковой кромке со стороны крыла имеет такой же порядок особенности (за исключением случая, когда боковая кромка лежит в плоскости, параллельной скорости набегающего потока).

Из (1.6) следует, что вторая производная  $\Phi''_{yx}(M \in \Sigma)$  из решения, полученного согласно [2], при приближении точки  $M$  к боковой кромке



Р и с. 2

имеет такую же особенность, как и первая производная  $\Phi'_y (M \in \Sigma)$  решения [1].

Проанализируем поведение первых производных  $\Phi'_y, \Phi'_x, \Phi'_z$  (газодинамических параметров потока) решения [2]. Без искажения основных свойств решения с целью уменьшения громоздких выкладок при проведении необходимых операций интегрирования однократных и двукратных интегралов анализ проделан на примере решения задачи обтекания

плоской пластины, для которой хорошо известно поведение газодинамических параметров решения [1, 3].

Для плоской пластины в области проекции крыла на базовую плоскость  $S$   $\Phi'_{\eta}(M \in S) = \alpha = \text{const}$ ,  $\Phi''_{\eta\xi}(M \in S) = 0$  и формула (1.6) преобразуется в

$$(1.6') \quad \Phi''_{yx}(M \in \Sigma) = - \frac{\alpha \psi'_{x_1}(x_1) \sqrt{f(x_1) - \psi(x_1)}}{\pi \sqrt{z_1 - f(x_1)} [z_1 - \psi(x_1)]}$$

Без ограничения общности с целью упрощения выкладок рассмотрено обтекание пластины, передняя кромка которой — прямая линия, перпендикулярная скорости набегающего потока, боковая кромка также прямолинейна. Для такого крыла уравнения передней и боковой кромок будут соответственно  $z_1 = -x_1$ ,  $z_1 = k_1 x_1$  ( $1 \leq k_1 \leq \infty$ ,  $k_1 = 1$  — боковая кромка совпадает с направлением скорости набегающего потока,  $k_1 = \infty$  — дозвуковая боковая кромка становится звуковой, совпадая с головной характеристикой  $O_1 D(x_1 = 0)$ ) и формула (1.6') примет вид

$$(1.6'') \quad \Phi''_{yx}(M \in \Sigma) = \frac{\alpha \sqrt{k_1 + 1} \sqrt{x_1}}{\pi \sqrt{z_1 - k_1 x_1} (x_1 + z_1)}$$

Вторая производная  $\Phi''_{yx}(M \in \Sigma)$  обращается в нуль на головной характеристике и стремится к бесконечности в окрестности боковой кромки.

В (1.2)—(1.6) у всех производных нижние индексы означают направление дифференцирования, они совпадают с направлением осей координат исходной (не характеристической) системы  $(x, y, z)$ . Для того чтобы по значению второй производной  $\Phi''_{yx}(M \in \Sigma)$  определить первую производную  $\Phi'_y(M \in \Sigma)$ , удобно переписать формулу (1.6'') в координатах  $(x, z)$ :

$$(1.6''') \quad \Phi''_{yx}(M \in \Sigma) = \frac{\alpha \sqrt{x-z}}{\sqrt{2} \pi \sqrt{z-kx} x}$$

Начало координат системы  $(x, z)$  совпадает с началом характеристической системы  $(x_1, z_1)$ , расположенной в угловой точке перехода передней кромки крыла в боковую (рис. 2). Координаты связаны соотношениями  $x = (x_1 + z_1)/\sqrt{2}$ ,  $z = (z_1 - x_1)/\sqrt{2}$ , а тангенсы углов наклона в уравнениях боковой кромки  $z = kx$ ,  $z_1 = k_1 x_1$  — зависимостью  $k = (k_1 - 1)/(k_1 + 1)$ . При изменении направления боковой кромки от совпадающего со скоростью набегающего потока до совпадающего с головной характеристикой  $OD$  параметры  $k_1, k$  изменяются в пределах  $1 \leq k_1 \leq \infty$ ,  $0 \leq k \leq 1$ .

После интегрирования по  $x$  обеих частей формулы (1.6''') находится первая производная

$$(2.1) \quad \Phi'_y(M \in \Sigma) = - \frac{\alpha}{\sqrt{2} \pi} \left\{ \frac{1}{\sqrt{k}} \arcsin \frac{(1+k)z - 2kx}{(1-k)z} + \arcsin \frac{(1+k)x - 2z}{(1-k)x} \right\} + az + b.$$

Течение около угловой точки плоской пластины обладает конической симметрией, формулу (2.1) можно записать в виде

$$(2.2) \quad \Phi'_y(M \in \Sigma) = -\frac{\alpha}{\sqrt{2}\pi} \left\{ \frac{1}{\sqrt{k}} \arcsin \frac{(1+k) - 2k \frac{x}{z}}{1-k} + \arcsin \frac{(1+k) - 2 \frac{z}{x}}{1-k} \right\} + a_1 \frac{z}{x} + b,$$

где  $k \leq z/x \leq 1$ ;  $0 < k < 1$ . Производная  $\Phi'_y(M \in \Sigma)$  — функция, ограниченная во всей области  $\Sigma$ , в том числе и на характерных линиях: головной характеристике ( $z = x$ ), боковой кромке ( $z = kx$ ).

Решение (2.2) обладает произволом в выборе двух постоянных  $a_1$  и  $b$ , этим можно воспользоваться, чтобы поставить дополнительные условия, соответствующие физической картине течения: на головной характеристике

$$(2.3) \quad \Phi'_y(M \in \Sigma) = -\frac{\alpha}{2\sqrt{2}} \left( \frac{1}{\sqrt{k}} - 1 \right) + a_1 + b = 0;$$

на боковой кромке

$$(2.4) \quad \Phi'_y(M \in \Sigma) = \frac{\alpha}{2\sqrt{2}} \left( \frac{1}{\sqrt{k}} - 1 \right) + ka_1 + b = \alpha.$$

Эти условия выполняются для всех  $0 < k < 1$ . Для звуковой кромки ( $k = 1$ ), когда она совпадает с головной характеристикой, условия (2.3), (2.4) становятся противоречивыми.

Особым является случай, когда боковая кромка параллельна скорости набегающего потока ( $k = 0$ ). При интегрировании соотношения (1.6''') при  $k = 0$  имеем

$$(2.5) \quad \Phi'_y(M \in \Sigma) = \frac{\alpha \sqrt{z}}{\pi} \left\{ \sqrt{\frac{x}{z} - 1} - \arctg \sqrt{\frac{x}{z} - 1} \right\} + a_1 \frac{z}{x} + b.$$

Отсюда видно, что для такого крыла величина скоса потока в окрестности боковой кромки ( $z = 0$ ) стремится к бесконечности.

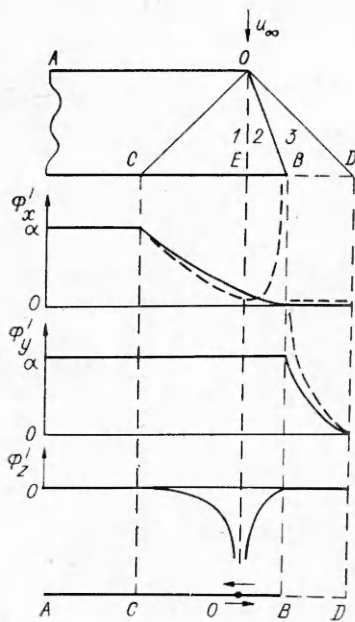
Поведение газодинамических параметров потока  $\Phi'_x, \Phi'_z$  зависит согласно (1.3), (1.4) от свойств производных  $\Phi''_{\eta}, \Phi''_{\xi}$ , задаваемых в области  $S$  геометрией крыла, а в области  $\Sigma$  определяемых формулами (1.6'''), (2.2). В (1.3), (1.4) подставляются соответствующие значения производных  $\Phi''_{\eta}, \Phi''_{\xi}$  и проводится довольно трудоемкий процесс вычисления интегралов, которые удается получить в конечном виде. Процесс вычисления удобнее осуществлять в характеристических переменных ( $x_1, z_1$ ). Область влияния боковой кромки, ограниченная головными характеристиками  $OD$  ( $\xi_1 = 0$ ),  $OC$  ( $\xi_1 = 0$ ), разделяется на три: область 1 на крыле, примыкающая к зоне крыла  $AOC$ , где не сказывается концевой эффект, ограничена характеристикой  $OC$  и линией  $OE$  ( $\xi_1 = \xi_1$ ); 2 на крыле — линией  $OE$  и боковой кромкой  $OB$  ( $\xi_1 = k_1 \xi_1$ ); 3, совпадающая с областью  $\Sigma$ , — боковой кромкой  $OB$  и характеристикой  $OD$  (см. рис. 2). Точки  $M$ , принадлежащие этим областям, будем в дальнейшем обозначать  $M_1, M_2, M_3$ .

После проведения всех вычислений для  $\Phi'_x, \Phi'_z$  получаются компактные выражения:

$$(2.6) \quad \Phi'_x(M_1, M_2) = \frac{\alpha}{\pi} \left\{ \frac{\pi}{2} + \arcsin \frac{(k_1 x_1 - z_1) - (k_1 + 1) z_1}{k_1 (x_1 + z_1)} \right\}; \quad \Phi'_x(M_3) = 0;$$

$$(2.7) \quad \Phi'_z(M_1, M_2) = -2\alpha \sqrt{\frac{k_1 + 1}{k_1 - 1}} \ln \frac{\sqrt{(k_1 - 1) z_1} + \sqrt{k_1 x_1 - z_1}}{\sqrt{k_1 |x_1 - z_1|}},$$

$$\Phi'_z(M_3) = 0.$$



Р и с. 3

Согласно (2.6), на границе с областью без влияния боковой кромки (линия  $OC$ ,  $z_1 = 0$ )  $\Phi'_x$  совпадает с соответствующим решением для пластины бесконечного размаха:  $\Phi'_x|_{z_1=0} = \alpha$ . На боковой кромке, как и должно следовать из постановки задачи,  $\Phi'_x|_{z_1=k_1x_1} = 0$ . На крыле внутри возмущенной боковой кромкой области в распределении давления нет особенностей, в том числе и на линии  $\zeta_1 = \xi_1$ , где

$$\Phi'_x|_{z_1=x_1} = \frac{\alpha}{\pi} \left\{ \frac{\pi}{2} - \arcsin \frac{2}{k_1(k_1+1)} \right\}.$$

На рис. 3 сплошная линия — качественная картина распределения давления в сечении  $x = \text{const}$ , штриховая — распределение давления, отвечающее [1]. Здесь же приведена качественная картина поведения производной  $\Phi'_y$  на щели согласно формуле (2.2) с учетом условий (2.3), (2.4) (сплошная линия) и решение (1.5) на основе [1] (штриховая).

Производная  $\Phi'_z$  характеризует поперечное перетекание потока в базовой плоскости  $\eta = 0$ . Согласно (2.7), на щели, так же как и на пластине бесконечного размаха, нет поперечного перетекания ( $\Phi'_z(M_3) = 0$ ). Решение в возмущенной боковой кромкой области на крыле  $\Phi'_z(M_1, M_2)$  непрерывно сопрягается с решениями на щели и на бесконечной пластине (рис. 3). На линии  $\zeta_1 = \xi_1$ , проходящей через точку излома кромок в направлении набегающего потока,  $\Phi'_z$  имеет особенность. На этой линии располагается особенность типа продольного вихря, резко не влияющего на компоненты  $\Phi'_y, \Phi'_x$  (рис. 3). В случае же, когда боковая кромка параллельна скорости набегающего потока, особенность совпадает с кромкой, что отражается на производной  $\Phi'_y$  на кромке (формула (2.5)).

Таким образом, если в задаче о концевом эффекте, сформулированной с привлечением в качестве определяющего параметра  $\Phi'_{\eta\xi}$ , исходить из условия  $\Phi'_x = 0$  на базовой плоскости вне проекции крыла, то газодинамические параметры потока (первые производные потенциала) на дозвуковой кромке принимают в отличие от решения [1] ограниченные значения. В решении [1] реализуется схема симметричного (безотрывного) обтекания крыла конечного размаха. В исследуемом решении заложено условие схода на дозвуковых кромках, соответствующее картине отрывного обтекания крыла конечного размаха.

#### ЛИТЕРАТУРА

1. Красильщикова Е. А. Крыло конечного размаха в сжимаемом потоке. — М.; Л.: Гостехиздат, 1952.
2. Воробьев Н. Ф. Аэродинамика несущих поверхностей в установившемся потоке. — Новосибирск: Наука, 1985.
3. Аэродинамика частей самолета при больших скоростях/Под ред. А. Ф. Доновена, Г. Р. Лоуренса. — М.: ИЛ, 1959.

г. Новосибирск

Поступила 26/XI 1990 г.,  
в окончательном варианте — 28/XII 1990 г.